

ПОЛЯРИЗАЦИЯ АТОМА В ГЕЛИЕПОДОБНЫХ ИОНАХ

П. Г. Бодашко и С. А. Запругаев

В первом порядке теории возмущений по корреляционному взаимодействию вычислены сдвиги уровней энергии He-подобных ионов конфигурации $1snl$ ($1 \leq n \leq 6$). Расчеты проведены в низшем порядке по α .

Введение

Исследование спектральных характеристик многозарядных ионов указывает на важность радиационных поправок типа собственной массы электрона и поляризации вакуума [1], имеющих для S -состояний порядок величины $\alpha (\alpha Z)^4 mc^2$ (α — постоянная тонкой структуры, Z — заряд ядра). Поляризация вакуума в сильном кулоновском поле являлась предметом исследований большого числа работ [2-5]. Как известно, в случае точечного заряда явление поляризации вакуума приводит к возникновению потенциала Юлинга [3] (которому в низшем порядке теории возмущений соответствует матричный элемент, определяемый графиком Фейнмана (рис. 1)), имеющему с учетом низших членов разложения по (αZ) вид

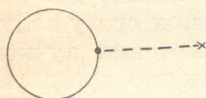


Рис. 1.

$$\varphi(r) = -\frac{e \alpha Z}{r} \frac{1}{3\pi} \int_0^{\infty} e^{-\frac{2r}{\lambda} (y^2+1)^{1/2}} \frac{y^2 (3+2y^2)}{(y^2+1)^{5/2}} dy, \quad (1)$$

где $\lambda = \hbar/mc$. В результате поправка к уровням энергии N -электронного атома за счет поляризации вакуума определяется в низшем порядке теории возмущений выражением

$$\Delta E_k = \left\langle \Psi_k \left| \sum_{i=1}^N e\varphi(r_i) \right| \Psi_k \right\rangle, \quad (2)$$

где Ψ_k — точная N -электронная волновая функция состояния k . Учитывая, что выражение (1) определяет потенциал Юлинга в низшем порядке по αZ , при использовании формулы (2) волновые функции должны быть вычислены в нерелятивистском приближении. Используя теорию возмущений, запишем Ψ_k в первом порядке по межэлектронному взаимодействию W в виде

$$\Psi_k \simeq \Phi_k - GW\Phi_k, \quad (3)$$

где G — N -электронная функция Грина уравнения Шредингера, а Φ_k — электронная волновая функция в приближении невзаимодействующих электронов. Нерелятивистский анализ радиационных поправок к основному состоянию He-подобного атома выполнен в работе [6].

Общие формулы

Подставляя (3) в (2), в случае двухэлектронного атома (конфигурация $n_1 l_1 n_2 l_2$) для сдвига уровня находим

$$\Delta E_{He} = \Delta E_H(n_1 l_1) + \Delta E_H(n_2 l_2) - 2\Delta \epsilon_{\text{корр}}, \quad (4)$$

где $\Delta E_H(nl)$ — сдвиг уровня nl за счет поляризации вакуума в атоме водорода $\Delta E_H(nl) = \langle nl | e\varphi | n, l \rangle$, а $\Delta \epsilon_{\text{корр}}$ определяется матричными элементами

$$\Delta \epsilon_{\text{корр}} = \sum_{k \neq n_1} \frac{1}{E_k - E_{n_1}} [\langle n_1 | V | k \rangle \langle kn_2 | W | n_1 n_2 \rangle \pm \langle n_1 | V | k \rangle \langle kn_2 | W | n_2 n_1 \rangle] + \sum_{k \neq n_2} \frac{1}{E_k - E_{n_2}} [\langle n_2 | V | k \rangle \langle kn_1 | W | n_2 n_1 \rangle \pm \langle n_2 | V | k \rangle \langle kn_1 | W | n_1 n_2 \rangle], \quad (5)$$

где $V = e\varphi$, $W = e^2 / |\mathbf{r}_1 - \mathbf{r}_2|$, E_n — уровни энергии водородоподобного атома; верхний знак относится к синглетным, а нижний — к триплетным термам. Ма-

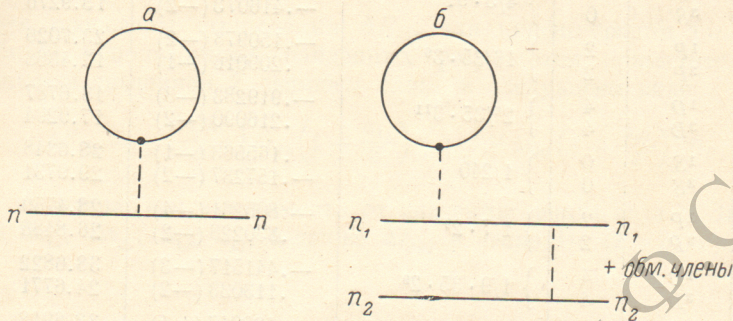


Рис. 2.

тричным элементам $\Delta E_H(nl)$ и $\Delta \epsilon_{\text{корр}}$ соответствуют диаграммы Фейнмана (рис. 2, а, соответственно).

Непосредственное вычисление $\Delta E_H(nl)$ приводит к следующему результату:

$$\Delta E_H(nl) = -\frac{\alpha}{2\pi} \left(\frac{2\alpha Z}{n}\right)^{4+2l} \frac{(n+l)! l! (l+2)! (l+2)}{(2l+1)! (2l+5)! (n-l-1)!} mc^2. \quad (6)$$

В частных случаях значения орбитального момента выражение (6) упрощается например,

$$\Delta E_H(ns) = -\frac{4}{15} \frac{\alpha}{\pi} (\alpha Z)^4 \frac{1}{n^3} mc^2,$$

$$\Delta E_H(np) = -\frac{2}{105} \frac{\alpha}{\pi} (\alpha Z)^6 \frac{n^2 - 1}{n^5} mc^2,$$

$$\Delta E_H(nd) = -\frac{2}{2835} \frac{\alpha}{\pi} (\alpha Z)^8 \frac{(n^2 - 4)(n^2 - 1)}{n^7} mc^2.$$

При больших значениях n $\Delta E_H(nl) \sim n^{-3}$.

Для вычисления $\Delta \epsilon_{\text{корр}}$ введем в рассмотрение вспомогательный матричный элемент $\Delta_L(n_1 l_1, n_2 l_2; n_3 l_3, n_4 l_4)$, которому соответствует график Фейнмана рис. 3. По определению имеем

$$\Delta_L(n_1 l_1, n_2 l_2; n_3 l_3, n_4 l_4) = \sum_{m \neq n_1} \frac{1}{\epsilon_m - \epsilon_{n_1}} \langle n_1 | V | k \rangle \langle kn_2 | W | n_1 n_2 \rangle = \sum_k \Phi_k(n_1 l_1, n_2 l_2; n_3 l_3, n_4 l_4) S_k^L(l_1 m_1, l_2 m_2; l_3 m_3, l_4 m_4), \quad (7)$$

где $\Phi_k(n_1 l_1, n_2 l_2; n_3 l_3, n_4 l_4)$ — радиальный интеграл

$$\Phi_k = \left\langle R_{n_1 l_1}(1) V(1) g_{l_1}^{\epsilon_{n_1}}(1, 2) R_{n_2 l_2}(3) \frac{e^{2r^k}}{r^{k+1}} R_{n_3 l_3}(2) R_{n_4 l_4}(3) \right\rangle, \quad (8)$$

R_{nl} — водородные волновые функции состояния nl , $g_{l_1}^{\epsilon_{n_1}}$ — редуцированная кулоновская функция Грина уравнения Шредингера [7], а S_k^L — угловой коэффициент

$$S_k^L = \sum_{\substack{m_1, m_2 \\ m_3, m_4}} C_{l_1 m_1 l_2 m_2}^{LM} C_{l_3 m_3 l_4 m_4}^{LM} \frac{4\pi}{2k+1} \langle Y_{l_1 m_1} | Y_{kq} | Y_{l_3 m_3} \rangle \langle Y_{l_2 m_2} | Y_{kq}^* | Y_{l_4 m_4} \rangle.$$

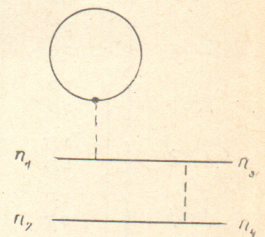


Рис. 3.

Сдвиги уровней энергии для атома He (формула (9))

| Конфигурация | Терм | 2l | ΔE_{nl} | Δ_{1s} | Δ_{nl} | $-\Delta E_{He} \cdot 10^6$ |
|-------------------|----------------|----|---|----------------|---------------|-----------------------------|
| (1s) ² | ¹ S | 0 | 4/15 | 1.235278 | 1.235278 | .701562 |
| 1s2s | ¹ S | 0 | } 1/30 | .144786 | 7.93539 | .587496 |
| | ³ S | 0 | | -.188488 (-1) | 8.35582 | .646114 |
| 1s2p | ¹ P | 2 | } 1/35 · 16 | -.218452 (-1) | 8.80230 | 1.06695 |
| | ³ P | 2 | | .859509 (-1) | 6.36290 | 1.01006 |
| 1s3s | ¹ S | 0 | } 4/5 · 81 | .401199 (-1) | 13.2277 | .814238 |
| | ³ S | 0 | | -.416073 (-2) | 13.9276 | .824498 |
| 1s3p | ¹ P | 2 | } 16/35 · 3 ⁶ | -.150978 (-2) | 23.7026 | 1.05621 |
| | ³ P | 2 | | .209016 (-1) | 12.4368 | 1.04439 |
| 1s3d | ¹ D | 4 | } 2 ⁶ /35 · 3 ¹¹ | -.919283 (-3) | 18.6787 | 1.05591 |
| | ³ D | 4 | | .216090 (-2) | 17.9294 | 1.05428 |
| 1s4s | ¹ S | 0 | } 1/240 | .165563 (-1) | 28.6348 | .827069 |
| | ³ S | 0 | | -.157237 (-2) | 29.9731 | .825601 |
| 1s4p | ¹ P | 2 | } 1/7 · 2 ⁹ | -.805261 (-4) | 28.4759 | 1.05550 |
| | ³ P | 2 | | .830228 (-2) | 26.8488 | 1.05104 |
| 1s4d | ¹ D | 4 | } 1/9 · 35 · 2 ⁹ | -.441517 (-3) | 38.6822 | 1.05566 |
| | ³ D | 4 | | .113033 (-2) | 24.6771 | 1.05448 |
| 1s4f | ¹ F | 6 | } 1/693 · 2 ¹⁵ | -.120047 (-4) | 32.6918 | 1.05543 |
| | ³ F | 6 | | .247985 (-4) | 32.3866 | 1.05541 |
| 1s5s | ¹ S | 0 | } 4/3 · 5 ⁴ | .839256 (-2) | 41.3391 | .884917 |
| | ³ S | 0 | | -.763847 (-3) | 42.1229 | .886440 |
| 1s5p | ¹ P | 2 | } 16/7 · 5 ⁶ | .784268 (-4) | 50.2021 | 1.05538 |
| | ³ P | 2 | | .413944 (-2) | 42.3428 | 1.05324 |
| 1s5d | ¹ D | 4 | } 64/9 · 5 ⁹ | -.233789 (-3) | 46.6672 | 1.05554 |
| | ³ D | 4 | | .624060 (-3) | 45.9286 | 1.05509 |
| 1s5f | ¹ F | 6 | } 2 ⁵ /693 · 5 ¹⁰ | -.933305 (-5) | 457.806 | 1.05543 |
| | ³ F | 6 | | .198006 (-4) | 333.500 | 1.05541 |
| 1s5g | ¹ G | 8 | } 2 ⁹ /39 · 77 · 5 ¹³ | -.869852 (-7) | 50.7440 | 1.05542 |
| | ³ G | 8 | | .166436 (-6) | 50.5652 | 1.05542 |
| 1s6s | ¹ S | 0 | } 1/40 · 3 ⁴ | .482919 (-2) | 65.0120 | .898930 |
| | ³ S | 0 | | -.430980 (-3) | 66.8415 | .897236 |
| 1s6p | ¹ P | 2 | } 1/16 · 3 ⁶ | .809789 (-4) | 64.4182 | 1.05538 |
| | ³ P | 2 | | .236165 (-2) | 62.9681 | 1.05418 |
| 1s6d | ¹ D | 4 | } 2/5 · 3 ¹² | -.137145 (-3) | 14.5137 | 1.05549 |
| | ³ D | 4 | | .374429 (-3) | 12.5628 | 1.05522 |
| 1s6f | ¹ F | 6 | } 1/8 · 77 · 3 ¹⁰ | -.643673 (-5) | 8.58746 | 1.05543 |
| | ³ F | 6 | | .138307 (-4) | 8.54814 | 1.05542 |
| 1s6g | ¹ G | 8 | } 1/308 · 13 · 3 ¹³ | -.895868 (-7) | 79.8827 | 1.05542 |
| | ³ G | 8 | | .180970 (-6) | 62.8082 | 1.05542 |
| 1s6h | ¹ H | 10 | } 1/143 · 160 · 3 ¹⁷ | -.850236 (-10) | 77.5304 | 1.05542 |
| | ³ H | 10 | | .106255 (-8) | 67.9113 | 1.05542 |

Здесь $C_{l_1 m_1 l_2 m_2}^{L M}$ — коэффициенты Клебша—Гордана, $Y_{l m}$ — сферические функции. Используя стандартные методы алгебры угловых моментов [8], после суммирования по магнитным квантовым числам находим

$$S_k^L = \sqrt{(2l_3 + 1)(2l_4 + 1)} (-1)^{L+l_2+l_3} C_{l_3 0 k 0}^{l_1 0} C_{l_4 0 k 0}^{l_2 0} \begin{Bmatrix} k & l_1 & l_3 \\ L & l_4 & l_2 \end{Bmatrix},$$

где $\begin{Bmatrix} k & l_1 & l_3 \\ L & l_4 & l_2 \end{Bmatrix}$ — 6j-символ Вигнера.

В результате сдвиг уровня конфигурации неэквивалентных электронов $n_1 l_1, n_2 l_2$ определяется выражением

$$\Delta E_{\text{He}} = \Delta E_{\text{H}}(n_1 l_1) + \Delta E_{\text{H}}(n_2 l_2) - 2[\Lambda_L(n_1 l_1, n_2 l_2; n_1 l_1, n_2 l_2) \pm \Lambda_L(n_1 l_1, n_2 l_2; n_2 l_2, n_1 l_1) + \Lambda_L(n_2 l_2, n_1 l_1; n_2 l_2, n_1 l_1) \pm \Lambda_L(n_2 l_2, n_1 l_1; n_1 l_1, n_2 l_2)].$$

Соответственно в случае эквивалентных электронов $(nl)^2$ имеем

$$\Delta E_{\text{He}} = 2[\Delta E_{\text{H}}(nl) - \Lambda_L(nl, nl; nl, nl)].$$

Вычисление радиальных интегралов проводится в аналитическом виде и приводит к быстросходящимся рядам гипергеометрического типа, которые легко могут быть рассчитаны на ЭВМ.

Результаты вычислений

В работе проведены вычисления ΔE_{He} для конфигурации $1snl$ ($1 \leq n \leq 6$). Для удобства использования найденных результатов применительно к ионам с произвольным значением Z запишем сдвиг в следующем виде:

$$\Delta E_{\text{He}} = -\frac{2\alpha^3 Z^4}{\pi} \left[\Delta \varepsilon_{1s} \left(1 - \frac{\Delta_{1s}}{Z}\right) + (\alpha Z)^{2l} \Delta \varepsilon_{nl} \left(1 - \frac{\Delta_{nl}}{Z}\right) \right] Ry, \quad (9)$$

в котором выделена вся зависимость от значения заряда ядра Z . Значения коэффициентов $\Delta \varepsilon_{1s}$, $\Delta \varepsilon_{nl}$, Δ_{1s} , Δ_{nl} , а также ΔE_{nl} в атоме He ($Z=2$) приведены в таблице.

Литература

- [1] R. Murrus. Beam-Foil Spectroscopy, 209. Ed. by S. Bashkin. 1976.
- [2] R. Serber. Phys. Rev., 48, 49, 1935; E. A. Vehlidy. Phys. Rev., 48, 55, 1935.
- [3] E. H. Wichman, N. M. Kroll. Phys. Rev., 101, 843, 1956.
- [4] L. S. Brown, R. N. Cohn, L. D. Melergren. Phys. Rev., D12, 581, 1975.
- [5] Я. И. Грановский. ЖЭТФ, 70, 2035, 1976.
- [6] P. K. Kabir, E. E. Salpeter. Phys. Rev., 108, 1256, 1957.
- [7] Л. П. Рапопорт, Б. А. Зон, Н. Л. Мананков. Теория многофотонных процессов в атомах. Атомиздат, М., 1978.
- [8] Д. А. Варшавович, А. Н. Москалев, В. К. Херсонский. Квантовая теория углового момента. Наука, Л., 1975.

Поступило в Редакцию 19 июня 1981 г.